

# In der *Unruhe* liegt die Kraft

Ein Blick auf Quantenfluktuationen und ihre Konsequenzen

Francesco Intravaia<sup>1</sup>, Daniel Reiche<sup>1,2</sup>, Kurt Busch<sup>1,2</sup>

<sup>1</sup>Humboldt-Universität zu Berlin, Institut für Physik, 12489 Berlin, Germany

<sup>2</sup>Max-Born-Institut, 12489 Berlin, Germany

**Fluktuationen sind allgegenwärtig. Sie bilden einen fundamentalen Baustein der Quantenmechanik und sind verantwortlich für die unterschiedlichsten Phänomene, angefangen in der Biologie bis hin zur Kosmologie. Fern jeder klassischen Intuition findet man zum Beispiel Kräfte zwischen nichtmagnetischen und elektrisch neutralen Objekten. Einzig bedingt durch Quantenfluktuationen entstehen diese Kräfte wie aus dem Nichts. Seit jeher begeistern sie die Grundlagenforschung mit neuen Einsichten und gewinnen immer mehr an Bedeutung für verschiedene Zukunftstechnologien.**

Mit *pantha rhei* (Alles fließt), werden manchmal die Lehren des griechischen Philosophen Heraklit zusammengefasst. Sie entsprechen dem Verständnis von kausaler Verknüpfung sowie einem ständigem Wandel in der Natur. Viele Jahrhunderte später folgte die Quantenmechanik und hat, wie wenige andere Theorien zuvor, unser Weltbild revolutioniert. Die nichtintuitiven Resultate der Quantentheorie bieten Raum für Spekulationen und werden bis heute debattiert. Eines dieser Resultate ist die Erkenntnis, dass jede physikali-

sche Größe eine intrinsische Unsicherheit mit sich trägt. Man spricht von Quantenfluktuationen, die jede Observable mit statistischem Rauschen verbinden. Heute wissen wir: *Alles rauscht*. Mehr noch, was sich wie eine theoretische Kuriosität anhört, hat weitreichende Implikationen im gesamten Spektrum der Physik. Denn die Quantenfluktuationen sorgen für messbare Effekte mit wachsender Bedeutung für moderne Nano- und Quantentechnologien.

Mathematisch gesehen sind Quantenfluktuationen die Konsequenz der nicht-kommutativen Struktur der Quantenmechanik. Vereinfacht gesagt bedeutet nicht-kommutativ für uns, dass die Reihenfolge von Messungen wichtig ist. So können wir beispielsweise niemals „gleichzeitig“ die Position  $x$  und den Impuls  $p$  eines Körpers exakt bestimmen. Als Konsequenz ergibt sich die berühmte Unschärferelation von Heisenberg. Im Fall einer eindimensionalen Dynamik gilt zum Beispiel für das Produkt der jeweiligen Unschärfen

$$\Delta x \Delta p \geq \hbar/2,$$

wobei  $\hbar = h/(2\pi)$  die reduzierte Plancksche Konstante ist. Je kleiner die Unschärfe im Ort  $\Delta x$ , desto ungenauer wird der Impuls  $\Delta p$ .

In der Quantenmechanik verhält sich das Vakuum wie eine komplexe Flüssigkeit, die in einem "brodelnden" Zustand ist, in dem physikalische Größen beständig um ihren Mittelwert fluktuieren.

(Bild: Spiegelung am Wasser in einem vibrierenden Becken. Autor: Jordi Torrents. Lizenz: CC BY-SA 4.0)

Die Unschärferelation hat einen beträchtlichen Einfluss auf unsere physikalischen Theorien. Zum einen muss die Statistik von Vielteilchensystemen überdacht werden: Sind in der klassischen Physik zwei identische Teilchen noch eindeutig durch ihre Position und Impuls unterscheidbar, so ist das in der Quantenmechanik durch die Unschärfe nicht mehr der Fall. Zum anderen, da das Produkt der Unschärfen niemals verschwinden darf, ergibt sich, dass die niedrigste mittlere Energie eines Systems nicht Null sein kann. Beispielsweise gilt für die mittlere Energie eines harmonischen Oszillators mit Resonanzfrequenz  $\omega_0$

$$\langle E \rangle \geq \frac{\hbar\omega_0}{2} \equiv E_0. \quad (1)$$

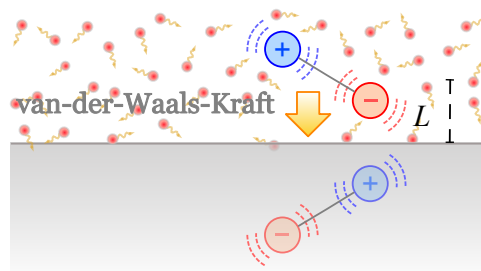
Das entsprechende Minimum  $E_0$  bezeichnet man als *Grundzustandsenergie* bzw. *Nullpunktsenergie* und da dieses Ergebnis unabhängig von der Temperatur ist, verschwindet das Minimum auch nicht für  $T \rightarrow 0$ .

Die Betrachtungen zum harmonischen Oszillator sind keineswegs Besonderheiten unseres einfachen Beispiels. Durch formale Ähnlichkeiten in den Bewegungsgleichungen ergeben sich Fluktuationen und Unschärfen auch für die Felder, die Licht und Materie beschreiben. Nehmen wir diesen Gedanken physikalisch ernst, so ist der Grundzustand nahezu jedes Systems von Unruhe gezeichnet und immer auf gewisse Art am „Brodeln“; auch im Vakuum und am absoluten Nullpunkt der Temperatur [1].

Als Folge der Quantenfluktuationen ist die Grundzustandsenergie eines Quantensystems im Allgemeinen also nie Null. Grundsätzlich ist diese Vorhersage nicht problematisch: Absolute Energien sind prinzipiell nicht messbar und echte Experimente können sich nur mit Energiedifferenzen auseinandersetzen. Man könnte daher vermuten, dass sich die Grundzustandsenergie während einer Messung immer identisch aufhebt und dass Quantenfluktuationen nur für Rauschen verantwortlich sind.

## Fluktuationskräfte

Allerdings hängen die Eigenschaften der Quantenfluktuationen auch von den Systemparametern ab. Im Fall des harmonischen Oszillators [Gl. (1)] ist es einfach die Resonanzfrequenz. In komplexeren Systemen wird es eine Reihe von zusätzlichen Geometrie-, Material- und Protokollparametern sein. Ändert man einen der Parameter, so ändern sich die Fluktuationen und damit auch die Grundzustandsenergie des Systems. Im Experiment schlägt sich die Änderung der Grundzustandsenergie in Form eines von den Systemparametern abhängigen Potentials auch auf das absolute Messergebnis nieder. Ist der Parameter eine Länge, muss die entsprechende Änderung als fluktuations-induzierte Kraft auflösbar sein. Im Fall eines Winkels ergibt sich ein Drehmoment. Analoge Betrachtungen gelten für weitere Paare konjugierter Größen.



**Abb. 1** Ein fluktuierender Dipol im Quantenvakuum vor einem Substrat wechselwirkt mit der von ihm induzierten Spiegelladung. Die Wechselwirkung erzeugt eine anziehende (van-der-Waals-)Kraft senkrecht zu der Oberfläche.

In der Tat sind diese sogenannten *Fluktuations-induzierten Wechselwirkungen* heutzutage ein wichtiger und unumstrittener Bestandteil von Experimenten. Mehr noch, im Fall von Quantenfluktuationen sind sie unmittelbar mit der Unschärferelation verbunden und durch klassische Betrachtungen nicht zu erklären.

## van-der-Waals-Kräfte

Interessanterweise wurden die ersten Hinweise auf Quanten-Fluktuationskräfte schon vor der Geburt der Quantenmechanik gefunden. Im Jahre 1873 formulierte van der Waals seine berühmte Zustandsgleichung für reale Gase. Um Phasenübergänge zu erklären, benötigte van der Waals zwei empirische Konstanten – das Kovolumen und den Kohäsionsdruck. Während ersteres widerspiegelt, dass reale Gasatome ein gewisses endliches Volumen im Raum einnehmen, entspricht letzteres einer allgemeinen, anziehenden und nicht-kovalenten Wechselwirkung zwischen Gasmolekülen, der sogenannten van-der-Waals-Kraft.

Die mikroskopische Erklärung einer solchen Kraft zwischen nichtpolaren Atomen (z.B. bei Edelgasen) wurde 1930 von F. London [2] geliefert. Mithilfe einer perturbativen Rechnung gelang London eine Abschätzung des Kohäsionsdrucks, die sehr nahe an den damals bekannten experimentellen Werten lag. London erkannte in den Berechnungen auch die wichtige Rolle der Dynamik und der dazugehörigen Frequenzabhängigkeiten der Systemparameter und prägte in Folge den Begriff der *Dispersionskraft* [3].

Um eine direkte Verbindung zwischen der van-der-Waals-Kraft und den Quantenfluktuationen herzustellen ist es instruktiv, den Fall eines nichtpolaren Atoms im Abstand  $L$  vor der flachen Oberfläche eines ausgedehnten und ungeladenen Halbraum zu betrachten (Abb. 1). Obwohl die atomare Ladungswolke elektrisch neutral ist, unterliegt sie doch Quantenfluktuationen. Diese erzeugen zu einer bestimmten Zeit  $t$  eine asymmetrische Ladungsverteilung und damit ein momentanes elektrisches Dipolmoment, beschrieben durch den Operator  $\hat{d}(t)$ . Dieser fluktuierende Dipol erzeugt einen Spiegel-Dipol im Substrat, dessen Feld  $\hat{E}$  auf das Atom rückwirkt. Im einfachsten Fall eines perfekt

leitenden Substrats erhält man für die elektromagnetische Energie dieses Systems

$$E = -\frac{\langle \hat{\mathbf{d}}(t) \hat{\mathbf{E}}(t) \rangle}{2} \approx -\frac{\langle \hat{\mathbf{d}}^2(t) \rangle}{48\pi\epsilon_0 L^3} \quad (2)$$

( $\epsilon_0$  Permittivität des Vakuums). Durch die quantenmechanische Unschärfe verschwindet  $\langle \hat{\mathbf{d}}^2(t) \rangle$  auch nicht am absoluten Nullpunkt der Temperatur. Im Gleichgewicht führt die quantenmechanische Mittelung dann zu einer zeitunabhängigen, aber  $L$ -abhängigen Energie. Nach Differentiation bezüglich des Abstandes ergibt sich eine anziehende Kraft  $F \propto L^{-4}$  zwischen dem Substrat und dem Teilchen, die aus Symmetriegründen senkrecht zur Oberfläche wirkt. Ähnliche Argumente führen auch zu der von London berechneten Abstandsabhängigkeit  $F \propto L^{-7}$  der van-der-Waals-Kraft zwischen zwei Atomen.

Trotz ihrer – im Vergleich zu kovalenten Bindungen – geringen Stärke, spielen van-der-Waals-Kräfte eine wichtige Rolle in chemischen und biologischen Systemen. Zu den vielen Beispielen zählen Phänomene und Anwendungen im Bereich der Adhäsion, Reibung und Kondensation, sowie der komplexen Dynamik von Kolloidsystemen, aber auch die Struktur zellulärer Biomembranen [4].

## Casimir und das Vakuum

Die Untersuchung von Kolloiden stimulierte auch den folgenden theoretischen Fortschritt. Im Jahr 1947 entwickelten Overbeek und Verwey eine Theorie zur Stabilität von Kolloidallösungen, die vollständig auf London-van-der-Waals-Kräften basiert. Allerdings zeigten Experimente, dass die Stärke der Fluktuationskraft in Kolloidlösungen schneller mit dem Abstand fällt als von der Theorie vorhergesagt. Der Grund dafür, spekulierte Overbeek, könnte die vereinfachte Form des elektromagnetischen Feldes sein, die London in seiner Herleitung verwendet hatte. Tatsächlich hatte London die Endlichkeit der Lichtgeschwindigkeit ignoriert und stattdessen eine instantane Ausbreitung des Feldes angenommen.

Overbeek's Vermutung inspirierte Casimir und Polder dazu, eine relativistische Erweiterung der oben skizzierten Theorie zu formulieren. Am Beispiel eines Atoms vor einem Substrat fanden sie auf Basis einer Störungsrechnung eine Begründung für die Abweichung der Fluktuationskraft in Gl. (2) für große Abstände [2]. Die relevante Längenskala  $\lambda$  ist hier  $\lambda = \lambda_{\text{At}}/(2\pi)$  mit  $\lambda_{\text{At}}$  der Übergangswellenlänge des charakteristischen atomaren Spektrums ( $\lambda \sim 130$  nm für Alkaliatome). Für Abstände  $L \gg \lambda$  erhält man einen Abfall der Energie  $\propto L^{-4}$  im Vergleich zur  $L^{-3}$ -Skalierung in der nicht-relativistischen Rechnung. Für ein perfekt leitendes Substrat ergibt sich konkreter

$$E \stackrel{L \gg \lambda}{\approx} -\frac{3\alpha_0}{32\pi^2\epsilon_0} \frac{\hbar c}{L^4}, \quad (3)$$

wobei  $\alpha_0$  die statische Polarisierbarkeit des Atoms ist. Ein ähnlicher Anstieg um eine Potenz im Abstandsgesetz findet sich auch im Fall der Kraft zwischen zwei Atomen. Qualitativ lässt sich der Abfall auch so erklären: Wegen der Verzögerung bei der Informationsübertragung durch das Feld, wird die Anti-Korrelation zwischen Dipol und Bild-Dipol bei größeren Abständen zunehmend geschwächt.

Durch das vollständig quantenelektrodynamische Verfahren von Casimir und Polder, das erstmals auch die Grundzustandsfluktuationen des elektromagnetischen Feldes berücksichtigte, lässt sich das Erscheinen einer abstandsabhängigen Wechselwirkung (oft Casimir-Polder-Effekt genant) auch anders interpretieren. Man kann eine direkte Verbindung zum Lamb-Shift herstellen, wofür fast zeitgleich von Bethe eine entsprechende Theorie formuliert wurde. Wie in der ursprünglichen Casimir-Polder-Rechnung, betrachtete Bethe die Änderung der atomaren Übergangsenergien durch die Wechselwirkung mit dem elektromagnetischen Vakuum. Im Unterschied zu Casimir und Polder erforschte Bethe aber ein homogenes und isotropes Vakuum ohne Oberflächen. Dennoch sind die physikalischen Mechanismen und technischen Probleme in beiden Fällen sehr ähnlich. Der von Casimir und Polder gefundene Effekt kann durch die zusätzlichen Randbedingungen daher auch als orts- und geometrieabhängiger Lamb-Shift verstanden werden.

Casimir selbst war wohl von dem simplen Ausdruck in Gl. (3) überrascht. Um dem auf den Grund zu gehen und inspiriert von einem Gespräch mit Bohr [1], führte er eine konzeptionell vereinfachte, aber dafür nicht-perturbative Rechnung durch, die die Relevanz der Grundzustandsfluktuationen in den Vordergrund stellt. Er betrachtete zwei sich gegenüberstehende, neutrale und nichtmagnetische Platten (Kavität) in unterschiedlichen Konfigurationen. Einmal seien die Platten auf endlichem Abstand  $L$  und einmal auf Abstand  $L \rightarrow \infty$ . Für das elektromagnetische Feld sind die Moden der Kavität durch die Frequenzen  $\omega_\mu(L)$  beschrieben. Jede der Moden verhält sich wie ein harmonischer Oszillator und trägt ihre eigene Grundzustandsenergie. Die gesamte minimale relative Energie berechnet sich dann via [1]

$$E = \sum_{\mu} \frac{\hbar\omega_\mu(L)}{2} - \left[ \sum_{\mu} \frac{\hbar\omega_\mu(L)}{2} \right]_{L \rightarrow \infty} \quad (4)$$

und entspricht effektiv der (negativen) Arbeit, die man leisten muss, um die Platten auf einen endlichen Abstand  $L$  zusammenzuführen. Obwohl beide Summen in Gl. (4) divergieren, ist deren Differenz endlich und nicht Null [1]. Entgegen der naiven Vermutung, heben sich die Grundzustandsfluktuationen in diesem Fall nicht komplett weg. Die relative Grundzustandsenergie in Gl. (4) wird abstandsabhängig und führt zur *Fluktuationskraft*  $F = -\partial_L E$ . Für zwei perfekt leitende Platten der Fläche  $A$ , die sich parallel im Vakuum gegenüber stehen, sagte Casimir mithilfe von Gl. (4)

die Energie

$$E = -\hbar c \frac{\pi^2}{720} \frac{A}{L^3} \quad (5)$$

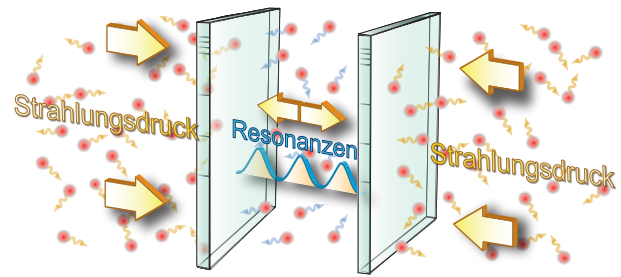
voraus. Dem entspricht eine Anziehungskraft, die aus Symmetriegründen senkrecht zu den Oberflächen wirkt. Abgesehen von numerischen Vorfaktoren hängt die Kraft nur von der Geometrie und zwei universellen Konstanten ab, die die relativistische ( $c$ ) und die quantenmechanische ( $\hbar$ ) Beschreibung des elektromagnetischen Feldes offenbaren. Die Herleitung von Casimir assoziiert die Grundzustandsfluktuationen des elektromagnetischen Feldes eindeutig mit einer Kraft, die heute seinen Namen trägt. Aufgrund des allgemeinen Zusammenhangs zwischen Fluktuationen und Feld-Dynamik findet man ähnliche Effekte auch für andere Felder, angefangen bei der Quantenchromodynamik bis hin zur Stringtheorie [5], aber auch in klassischen Systemen, wie beim kritischen Casimir-Effekt [6]. Dies hat mögliche Implikationen für das Verständnis physikalischer Systeme, sowohl auf mikroskopischen – z.B. für das Innere eines Nukleons – als auch auf kosmologischen Skalen – etwa die Genesis und Dynamik von Galaxien.

## Materie und Geometrie

Im Gegensatz zu Gl. (3), weist Casimirs idealisierte Rechnung in Gl. (5) keine Veränderung des Potenzgesetzes als Funktion des Abstandes auf. Der Grund dafür ist, dass Casimir keine Materialeigenschaften berücksichtigt hat – es fehlt also eine charakteristische Längenskala  $\lambda$ . Aber auch der Ansatz über eine Summation aller Moden in Form von Gl. (4) stößt schnell an seine Grenzen, da er Systeme mit dissipativen Materialien, für welche die Resonanz-Frequenzen komplex werden, nicht direkt darstellen kann.

Ein eingängiger Zugang, der Geometrie und Materialeigenschaften auf natürliche Weise berücksichtigt, wurde 1955 von Lifshitz gefunden. Lifshitz betrachtete den mittleren Strahlungsdruck auf die Platten als Funktion des Abstandes (Abb. 3) und berücksichtigte Materialeigenschaften über die komplexe Permittivität. Casimirs Resultat in Gl. (5) folgt dann als Sonderfall in entsprechenden Grenzwertbetrachtungen. Die physikalische Interpretation des Zusammenhangs zwischen Lifshitz' und Casimirs Rechnungen wurde von van Kampen und Schram in den Jahren 1968 und 1973 geliefert [2, 5].

Obwohl die Berechnung über den Maxwell'schen Spannungstensor von Lifshitz fast schon klassisch anmuten mag, so muss doch eine quantenmechanische Mittelung vollzogen werden. Der „Strahlungsdruck“ wird daher nicht durch klassische Felder hervorgerufen, sondern einzig durch den quantenstatischen Gleichgewichtszustand des Systems, der die Quantenfluktuationen berücksichtigt. Das ermöglicht auch eine direkte Verbindung zwischen der Lifshitz-Theorie und der Thermodynamik: Feld und Materie bilden ein offenes



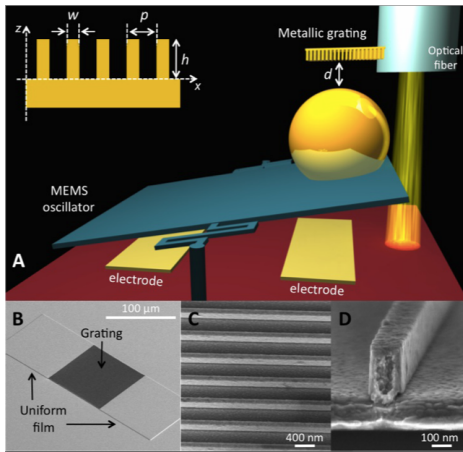
**Abb. 2** Darstellung des Casimir-Effekts über den „Strahlungsdruck“ der Grundzustandsfluktuationen. Durch die Randbedingungen an den Platten ergibt sich ein Druckunterschied, der die Casimir-Kraft hervorruft.

Quantensystem [3], das auf empfindliche Weise von seiner materiellen Beschaffenheit abhängt. So ist es zum Beispiel möglich, die Fluktuationskräfte durch geschicktes Design der Geometrie und Auswahl der Materialien zu modifizieren oder sogar Drehmomente und Abstoßung zu realisieren [3, 7, 8, 10]. Es ist sicherlich nicht überraschend, dass eine solche Vielzahl von Möglichkeiten einen Nährboden für die Entwicklung von semi-analytischen und numerischen Methoden darstellt, um immer genauere Vorhersagen für immer komplexere Systeme zu ermöglichen [8]. Hierbei wird ein besonderer Fokus oft auf die Streueigenschaften der Objekte gelegt, die eine alternative Formulierung der Theorie erlauben [2, 11].

Die Lifshitz-Theorie erfasst alle bis jetzt beschriebenen Kräfte und erlaubt deren Zusammenhänge zu erläutern. Aufgrund der gleichen physikalischen Ursache, den Quantenfluktuationen, beziehen sich die unterschiedlichen historischen Terminologien heutzutage nur noch auf die Kräfte in unterschiedlichen Situationen. So bezeichnet man die Fluktuationskraft zwischen makroskopischen Objekten gewöhnlicherweise als Casimir-Kraft. Ersetzt man mindestens ein makroskopisches Objekt durch ein mikroskopisches, z.B. ein Atom oder Molekül, dann ist üblicherweise von Casimir-Polder-Kräften die Rede. Schließlich existiert in all diesen Fällen ein Abstandsbereich bei dem die Retardierung vernachlässigt werden kann – dann spricht man üblicherweise vom van-der-Waals-Limes.

## Die letzten 20 Jahre im Labor

Die experimentelle Untersuchung fluktuationsinduzierter Kräfte ist ein beständiger Begleiter moderner Physik. So haben Derjaguin und Abrikosova schon Anfang der 1950er Jahre die van-der-Waals-Kraft zwischen zwei makroskopischen Quarz-Oberflächen gemessen – ein Resultat, das nicht zuletzt auch die Entwicklung der Lifshitz-Theorie stimulierte [2]. Anfang der 1970er Jahre, folgten dann Experimente an Atomen in der Nähe von Oberflächen, die entsprechende theoretische Vorhersagen qualitativ bestätigten [2].



**Abb. 3** Darstellung eines Experiments für die Messung der Casimir-Kraft (s. Ref. [14]). Mit dem Aufbau (Bild A) bestimmt man die Verschiebung der Frequenz eines MEMS-Oszillators, die durch die Kraft zwischen einer - am Oszillator angebrachten - Kugel und einer Gitter-Struktur (Bilder B-D) hervorgerufen wird. Für eine genaue Abstandsmessung zwischen den oszillierenden Objekten wird eine optische Faser verwendet.

Dank rasant voranschreitender experimenteller Möglichkeiten ist es in den letzten Jahrzehnten einfacher geworden, all jene Phänomene nachzuweisen, die in der Anfangszeit der Casimir-Physik Ende der 1940er Jahre noch als theoretische Vorhersage galten. Grund dafür sind nicht zuletzt die Fortschritte bei der Kontrolle atomarer Strahlen, der Messung von Spektraleigenschaften und der Laserkühlung. So konnten bereits Anfang der 1990er Jahre die Atom-Oberflächen-Wechselwirkungen in verschiedensten Konfigurationen untersucht werden. Dabei stehen z.B. Beugung, Interferenz, Übergangsfrequenzverschiebungen oder auch Effekte wie die Quantenreflexion im Mittelpunkt [2, 12]. Ferner spielen Casimir-Polder-Kräfte in metrologischen Anwendungen eine wichtige Rolle, wie z.B. bei sogenannten Atom-Chips, wo sie sowohl für Herausforderungen also auch für Möglichkeiten einer kontaktlosen Steuerung sorgen können [12]. In Atom-Chips wird eine kalte Atomwolke, beziehungsweise ein Bose-Einstein-Kondensat, in der Nähe von Oberflächen gefangen und für Präzisionsmessungen oder als Quantensensor genutzt. Die Casimir-Polder-Kraft begrenzt den minimalen Abstand zwischen der Wolke und der Oberfläche und damit die Miniaturisierung des Systems. Zum Vergleich: Im Fall von Rubidium ist die Casimir-Polder-Kraft in Richtung der Oberfläche des Chips bei einem Abstand von einem Mikrometer schon fünf Mal stärker als die Erdanziehungskraft. Bis heute sind die experimentellen Herausforderungen oft technischer Natur: Eine Ansammlung von Verunreinigungen (Adsorbaten) oder Ladungen an der Oberfläche, sowie die Oberflächenrauigkeit beeinflussen die Stärke und Natur der Wechselwirkung.

Für eine Messung der Casimir-Kraft zwischen makroskopischen Körpern hingegen, mussten weitere Hürden

überwunden werden. Nicht zu unterschätzen ist die Schwierigkeit, zwei Platten auf Abstände von wenigen Mikrometern oder kleiner parallel auszurichten. Nach ersten Messungen von Sparnaay im Jahr 1958, konnte die Casimir-Kraft zwischen zwei parallelen Platten erst Anfang der 2000er Jahre mit einer Genauigkeit von 15% bestätigt werden [13]. Um das Problem der Parallelität im Experiment zu umgehen, behilft man sich oft anderer Geometrien, wie zum Beispiel zweier Kugeln oder einer Kugel vor einer Oberfläche. Als Beispiele sind hier Experimente zum Test des Gravitationsgesetzes [13] sowie Nano- oder Mikro-Elektro-Mechanische-Systeme (NEMS und MEMS) zu nennen [10], die man heute sogar als Beschleunigungssensoren in Smartphones findet. Bei diesen Systemen bewegen sich Bauteile in sehr geringem Abstand voneinander, wodurch Fluktuationskräfte an Bedeutung gewinnen. Wie auch in Atom-Chips, begrenzen die Fluktuationskräfte aufgrund ihrer Stärke sowohl eine genaue Messung der Schwerkraft als auch die Miniaturisierung und damit energetisch und sensorisch effizientere Designs. Zum Vergleich: Wenn  $A \sim 1\text{cm}^2$  und  $L \sim 1\mu\text{m}$ , dann ist die Kraft in Gl. (5)  $0.1\mu\text{N}$ . Das entspricht ungefähr der Gewichtskraft von  $10\mu\text{g}$  an der Erdoberfläche. So konnte ein erster experimenteller Nachweis der Casimir-Kraft in gekrümmten Geometrien schon 1996 von Lamoireaux mit einer Gravitationswaage erreicht und später mithilfe eines Rasterkraftmikroskops oder MEMS mit höherer Genauigkeit bestätigt werden [2, 5]. Das birgt aber die Schwierigkeit, die Krümmung der Geometrie in der Modellierung korrekt darzustellen. Besondere Wichtigkeit erlangte dabei die von Derjaguin entwickelte *proximity force approximation*, die es erlaubt eine gekrümmte Oberfläche durch planare Ergebnisse näherungsweise zu erfassen [2, 5, 8, 9, 14].

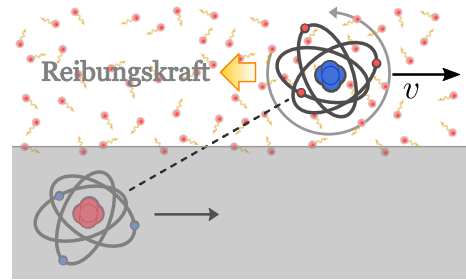
In Kombination mit den jeweiligen Materialeigenschaften führen Präzisionsmessungen der Casimir-Kraft bis heute zu ungeklärten Kontroversen. Ein prominentes Beispiel ist die sogenannte Plasma-Drude-Kontroverse, die sich mit der Rolle der elektrischen Leitfähigkeit in der Lifshitz-Theorie befasst [5]. So haben Messungen bei endlicher Temperatur zwischen leitenden Oberflächen signifikante Abweichungen von den theoretischen Vorhersagen ergeben, wenn in der Modellierung die Metalle mit einer endlichen Dissipation, z.B. im Rahmen des Drude-Modells, beschrieben wurden. Das Überraschende ist, dass diese Abweichung in den meisten der betroffenen Experimenten verschwindet, wenn man im Drude-Modell die Dissipation künstlich auf Null setzt (sogenanntes Plasma-Modell eines Metalls). Die Kontroverse entsteht daraus, dass man eigentlich das Drude-Modell dem Plasma-Modell vorziehen würde, da ersteres mit dem Ohm'schen Gesetz vereinbar ist. Trotz einer Reihe von theoretischen Vorschlägen über die physikalischen Ursachen und wiederholten Experimenten, gibt es bis heute keinen Konsens über die Lösung des Rätsels.

## Jenseits des Gleichgewichts

Eine weitreichende Theorie der Fluktuationskräfte wurde 1961 von Lifshitz zusammen mit Dzyaloshinskii und Pitaevskii formuliert, wobei das Zusammenspiel von statistischer Physik, Quantenelektrodynamik und Festkörperphysik im Vordergrund steht [2]. Wie in den bisherigen Betrachtungen ist dabei die zentrale Annahme die Existenz eines thermischen Gleichgewichts. Das vereinfacht die Rechnungen bedeutend, da die Korrelationsfunktionen durch die Antwortfunktionen des Systems exakt bestimmt sind. Letzteres wird gemeinhin über das sogenannte Fluktuations-Dissipations-Theorem formalisiert. Im Nichtgleichgewicht, hingegen, ist die Beschreibung meist deutlich schwieriger. In vollster Allgemeinheit ist eine derartige Beschreibung vermutlich sogar unmöglich, was die Entwicklung einer Zahl von Näherungsmethoden befördert hat.

Zu den verbreitetsten Formen von Nichtgleichgewicht bei fluktuations-induzierten Phänomenen zählen vermutlich Temperaturunterschiede zwischen räumlich getrennten Teilen des Systems [15]. Dieses sogenannte *thermische Nichtgleichgewicht* wird oftmals in zeitlich stationären Situationen betrachtet, sodass die vorliegenden Temperaturgradienten zu einem konstanten Energiestrom und den dazugehörigen Kräften im System führen. Insbesondere wenn die makroskopischen Objekte durch das Vakuum getrennt sind, werden diese Effekte ausschließlich durch die Fluktuationen des elektromagnetischen Feldes vermittelt. Interessante Nichtgleichgewichtseffekte, insbesondere im Bereich des Wärmetransports aber auch der Fluktuationskräfte, können vorhergesagt und experimentell untersucht werden. Deren Stärke und Vorzeichen, auch in Kombination mit Materialeigenschaften, können sich durch den Temperaturunterschied steuern lassen [16].

Im thermischen Nichtgleichgewicht spielen Quantenfluktuationen meist eine untergeordnete Rolle und thermische Fluktuationen bestimmen weitgehend die Stärke des Vorgangs. Dies ändert sich, wenn sich unterschiedliche Teile des Systems in Bewegung befinden. In diesen *mechanischen Nichtgleichgewichten* unterscheidet man grob nach den verschiedenen Möglichkeiten die Lorentzinvarianz zu brechen. Hat man etwa ein oszillierendes ungeladenes und nichtmagnetisches Objekt im Vakuum, z.B. eine Platte oder ein Atom, so spricht man in der Regel vom dynamischen Casimir-Effekt. Dabei wird eine verschränkte Strahlung – zusammen mit einer entsprechenden Rückstoßkraft – erzeugt, die als eine Art parametrische Verstärkung der Grundzustandsfluktuationen verstanden werden kann [9, 17]. Betrachtet man hingegen die Bewegung durch das elektromagnetische Vakuum mit *konstanter* Beschleunigung, kommt es zum Fulling-Davies-DeWitt-Unruh Effekt, wobei das Objekt im mitbewegten Bezugssystem anstatt des Vakuums ein thermisches Feld mit konstanter Temperatur wahrnimmt – ein Effekt der mit der Hawking-Strahlung eines schwarzen Lochs verwandt ist [17]. Die Untersuchung dieser Phänome-



**Abb. 4** Ein Atom im Quantenvakuum bewegt sich mit konstanter Geschwindigkeit parallel zu einem Substrat und wechselwirkt mit der von ihm induzierten Spiegelladung. Die Wechselwirkung erzeugt eine Reibungskraft parallel zu der Oberfläche und eine ungewöhnliche Übertragung von Drehmoment zum Atom.

ne ist nicht nur als Test der Fundamente der Quanten- und Gravitationstheorie relevant, sondern trägt auch zu einem tieferen Verständnis der Dynamik ultra-kalter Atome oder superleitender Schaltkreise bei, wo analoge Effekte bereits gemessen worden sind [17].

Ein interessanter dynamischer Effekt tritt aber auch dann auf, wenn sich zwei (oder mehrere) eng benachbarte Objekte mit *konstanter Relativgeschwindigkeit* bewegen. Im Gegensatz zur Bewegung im absoluten Vakuum liegt hierbei der Fokus auf der Geometrie und dem Material des Systems. Bemüht man für ein sich bewegendes Atom erneut das qualitative Bild des Spiegel-Dipols (Abb. 1), so ist die Bewegung des Bild-Dipols im Vergleich zu einer parallelen Bewegung des Teilchens relativ zum Substrat verzögert (Abb. 4). Der Grund dafür sind Dissipation und Dispersion innerhalb des Körpers. Damit erhält die anziehende Kraft zwischen Dipol und Bild einen nichtkonservativen Anteil parallel zur Oberfläche, welcher der Bewegung entgegen wirkt. Ohne Quantenfluktuation würde diese Kraft nicht existieren: Man spricht dann von Quantenreibung [15].

Die Physik der Quantenreibung ist sehr vielfältig. Sie zeigt wichtige Verbindungen sowohl zu besonderen Symmetrie- und Materialeigenschaften des Systems [18], als auch zu den obengenannten Nichtgleichgewichtseffekten und zum Cherenkov-Effekt. Das führt zu interessanten Phänomenen, wie zum Beispiel einer ungewöhnlichen Übertragung von Drehmoment zum Atom [18] (Abb. 4). Bemerkenswert ist, dass lokale Gleichgewichtsmethoden bei der Beschreibung, wie die Quantenreibungskraft auf Atome wirkt, scheitern [18]. Um dies zu motivieren, betrachten wir die stationäre Bewegung eines Atoms entlang einer planaren Oberfläche mit konstantem Abstand  $L$  und Geschwindigkeit  $v$ . Bei  $T = 0$  ergibt sich die Reibungskraft

$$F \approx -\frac{36}{\pi^3} \hbar \alpha_0^2 \rho^2 \frac{v^3}{(2L)^{10}}, \quad (6)$$

wobei  $\rho$  mit der Zustandsdichte des elektromagnetischen Feldes bei kleinen Frequenzen verbunden ist [18]. Für leitende Substrate ist  $\rho$  effektiv der spezi-

fische Widerstand des Materials. Im Gegensatz zu Dispersionskräften im Gleichgewicht, die sich aus einem breiten Frequenzspektrum herleiten, sind für Quantenreibung besonders die niedrigen Frequenzen fern jeder Resonanz im System relevant. Das legt physikalisch einen starken Fokus auf die dissipativen Eigenschaften des Systems. Mathematisch bedeutet dies, dass insbesondere jene Korrelationen zwischen System und Umgebung für die Beschreibung relevant sind, die von vielen geläufigen Näherungsmethoden nicht mehr erfasst werden können. Die Konsequenzen können weitreichend sein, bis hin einer Verletzung der Energiebilanz im System [18]. Daher muss man einige Vorsicht walten lassen, um die tiefen Frequenzen adäquat zu berücksichtigen [18].

Gleichung (6) liefert eine gute Beschreibung solange  $v/L$  ( $< 150 \mu\text{eV}$  für typische Werte) kleiner als jede Resonanz im System ist. In allen anderen Fällen kann sich Gl. (6) ändern [15]. Insgesamt ergeben sich meistens vergleichsweise kleine Werte für die Kraft der Quantenreibung, die sich auch deshalb bis heute einem direkten experimentellen Nachweis entzogen hat. Dafür werden aktuell verschiedene experimentelle Protokolle diskutiert. Eine Idee wäre es, der notwendigen Genauigkeit der Messung mit der extremen Sensitivität von modernen Atom-Interferometern zu begegnen. Alternativ könnte man hohe Geschwindigkeiten und kleine Abstände durch Beugung von Atomstrahlen an feinen Gittern erreichen. Oder man arbeitet mit möglicherweise analogen System, die z.B. das Atom durch ein sogenanntes *nitrogen-vacancy center* an der Spitze eines Rastermikroskopes [18] bzw. die Relativbewegung durch einen elektrischen Strom emulieren [15, 18]. Solche Vorschläge haben ihre individuellen Vor- und Nachteile [18], sodass ein direkter Nachweis nach wie vor eine Herausforderung darstellt.

Allerdings kann sich das durch geschickte Optimierungen der Systemarchitektur in Zukunft ändern. So sind Quantenreibungskräfte auf Atome hochgradig nicht-additiv. Die Nicht-Additivität lässt sich bereits anhand der quadratischen Abhängigkeit von der elektromagnetischen Zustandsdichte, d.h.  $F \propto \rho^2$ , erahnen. Beachten wir die enge Verbindung zwischen der Zustandsdichte und der Materialverteilung im System, so liegt hier ein Optimierungspotenzial, das es zu heben gilt. Mit anderen Worten: Die doppelte Anzahl an wechselwirkenden Flächen bedeutet keineswegs die doppelte Kraft, sondern es können sich durchaus Überhöhungen von einigen Größenordnungen ergeben [18].

## Ausblick

Fluktuationskräfte zeigen, dass sich Quantenfluktuationen im System nicht tatenlos verhalten, sondern auf subtile und faszinierende Art in seine Dynamik eingreifen. Schwinger nannte die Casimir-Kraft „eine der

am wenigsten intuitiven Konsequenzen der Quantenelektrodynamik“. Ob intuitiv oder nicht, die Physik der fluktuations-induzierten Phänomene – aus historischen Gründen oft auch *Casimir-Physik* genannt – ist spätestens heutzutage ein fester Bestandteil unseres physikalischen Verständnisses. Sie ist von großer und wachsender Bedeutung für viele Untersuchungen und Anwendungen in den verschiedensten Forschungsfeldern, angefangen bei Nano- und optischen Quantentechnologien, über die Biophysik, bis hin zur Dynamik des Universums. Besonders bei den Vorhersagen im Nichtgleichgewicht stehen wir sowohl aus experimenteller als auch aus theoretischer Sicht noch am Anfang.

## Literatur

- [1] P. W. Milonni, *The Quantum Vacuum* (Academic Press Inc., San Diego, 1994).
- [2] *Casimir Physics*, Vol. 834 of *Lecture Notes in Physics*, edited by D. Dalvit, P. Milonni, D. Roberts, and F. da Rosa (Springer, Berlin / Heidelberg, 2011).
- [3] S. Scheel and S. Y. Buhmann, *Acta Physica Slovaca* **58**, 675 (2008).
- [4] V. Parsegian, *Van der Waals forces: a handbook for biologists, chemists, engineers, and physicists* (Cambridge Univ Pr, New York, 2006).
- [5] M. Bordag, G. L. Klimchitskaya, U. Mohideen, and V. M. Mostepanenko, *Advances in the Casimir effect* (Oxford University Press, New York, 2009).
- [6] A. Gambassi, C. Hertlein, L. Helden, S. Dietrich, and C. Bechinger, *Europhys. News* **40**, 18 (2009).
- [7] L. M. Woods, D. A. R. Dalvit, A. Tkatchenko, P. Rodriguez-Lopez, A. W. Rodriguez, and R. Podgornik, *Rev. Mod. Phys.* **88**, 045003 (2016).
- [8] A. W. Rodriguez, F. Capasso, and S. G. Johnson, *Nat. Photon.* **5**, 211 (2011).
- [9] M. Kardar and R. Golestanian, *Rev. Mod. Phys.* **71**, 1233 (1999).
- [10] T. Gong, M. R. Corrado, A. R. Mahbub, C. Shelden, and J. N. Munday, *Nanophotonics* **10**, 523 (2021).
- [11] G.-L. Ingold and A. Lambrecht, *Am. J. Phys.* **83**, 156 (2015).
- [12] R. Folman, P. Krüger, J. Schmiedmayer, J. H. Denschlag, and C. Henkel, *Adv. At. Mol. Opt. Phys.* **48**, 263 (2002).
- [13] R. Onofrio, *New J. Phys.* **8**, 237 (2006).
- [14] F. Intravaia, S. Koev, I. W. Jung, A. A. Talin, P. S. Davids, R. S. Decca, V. A. Aksyuk, D. A. R. Dalvit, and D. López, *Nat. Commun.* **4**, (2013).
- [15] A. I. Volokitin and B. N. J. Persson, *Rev. Mod. Phys.* **79**, 1291 (2007).
- [16] S.-A. Biehs, R. Messina, P. S. Venkataram, A. W. Rodriguez, J. C. Cuevas, and P. Ben-Abdallah, *Rev. Mod. Phys.* **93**, 025009 (2021).
- [17] P. D. Nation, J. R. Johansson, M. P. Blencowe, and F. Nori, *Rev. Mod. Phys.* **84**, 1 (2012).
- [18] D. Reiche, F. Intravaia and K. Busch, *APL Photon.* **7**, 030902 (2022).

## Die Autoren

---



**Francesco Intraiva** studierte Physik an der Università degli Studi di Palermo in Italien und promovierte in Paris an der Université Pierre et Marie Curie mit einer Arbeit über den Casimir-Effekt am Laboratoire Kastler-Brossel. Anschließend forschte er im Rahmen eines Alexander-von-Humboldt Stipendiums an der Universität Potsdam sowie als Director's Postdoctoral Fellow am Los Alamos National Laboratory. Seit 2019 ist er akademischer Rat an der Humboldt Universität zu Berlin, wo er weiterhin Fluktuations-Induzierte Phänomene untersucht.



**Daniel Reiche** studierte Physik in Jena und Berlin und forschte für seine Masterarbeit am Los Alamos National Laboratory. Anschließend arbeitete er am Max-Born-Institut sowie als Fulbright Stipendiat an der University of Maryland, College Park, und der Northern Arizona University. 2021 promovierte er an der Humboldt-Universität zu Berlin und arbeitet an selbiger derzeit als Post-Doc zur Miniaturisierung von Quantensensoren.



**Kurt Busch** studierte Physik an der Universität Karlsruhe (TH) und promovierte an der Universität Karlsruhe (TH) sowie der Iowa State University zur Ausbreitung klassischer Wellen in ungeordneten Systemen. Nach einem PostDoc-Aufenthalt an der University of Toronto war er an der Universität Karlsruhe (TH) Nachwuchsgruppenleiter im Rahmen des Emmy-Noether Programms der DFG. Als Associate Professor forschte und lehrte er an der University of Central Florida bevor er an das Karlsruher Institut für Technologie berufen wurde. Seit 2011 ist er Professor für Theoretische Optik & Photonik an der Humboldt Universität zu Berlin und gleichzeitig leitet er eine Arbeitsgruppe am Max-Born-Institut in Berlin.

---